

FE DE ERRATAS

Debido a diferentes motivos, las figuras de la página 12 no tienen la calidad deseada. A continuación se reproducen con la calidad adecuada

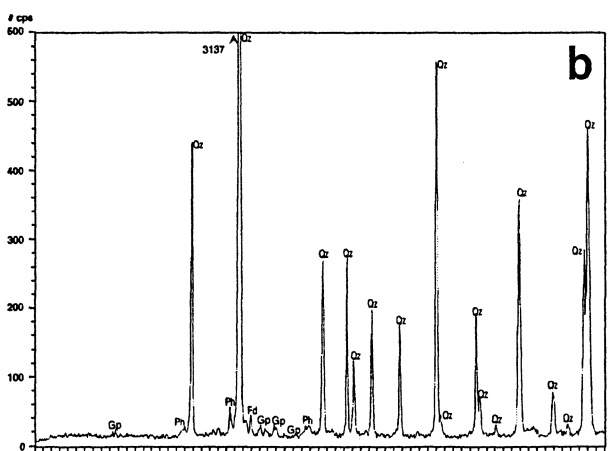
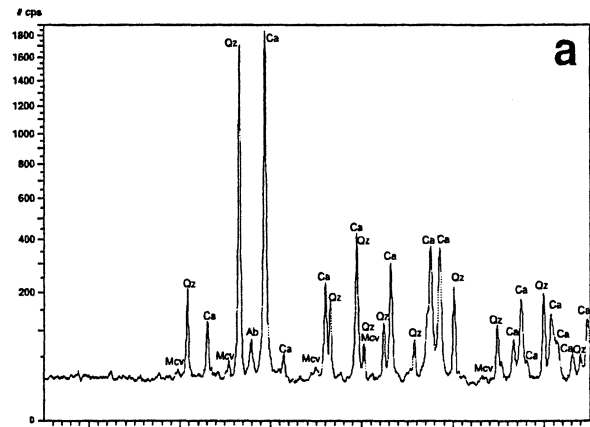


Figura 6.- a) Espectro de rayos X de una muestra de arenisca de la CAO (Qz: cuarzo, Ca: calcita, Mcv: moscovita, Ab: albite); b) Espectro de rayos X de una muestra de arenisca del PDFG (Qz: cuarzo, Ph: filosilicatos, Fd: feldespato alcalino, Gp: yeso).

Figure 6.- a) X-ray spectrum of an OAH sandstone sample (Qz: quartz, Ca: calcite, Mcv: muscovite, Ab: albite); b) X-ray spectrum of a GPGP sandstone sample (Qz: quartz, Ph: phyllosilicates, Fd: alkali-feldspar, Gp: gypsum).

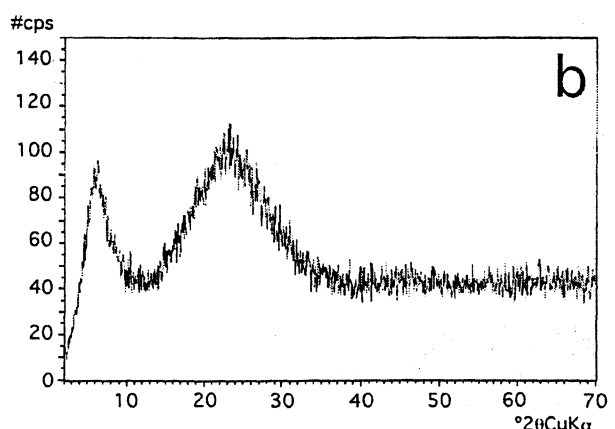
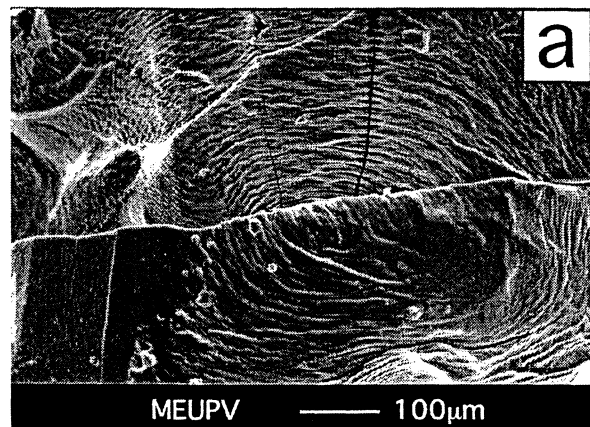


Figura 7.- a) Aspecto al SEM del producto consolidante A semisolidificado. Se comporta como un gel con microfracturas concéntricas y radiales producidas por la pérdida del disolvente por evaporación; b) Diffractograma del producto consolidante A en el que se constata su naturaleza amorfa.

Figure 7.- a) The semi-solidified consolidating product A, seen under SEM. Its behaviour is like a gel showing both concentric and radial open microfractures produced by the evaporative loss of the solvent. b) Diffractogram of consolidating product A clearly showing its amorphous nature.